

鳥取大学工学部 正会員 高岡宣善  
 鳥取大学工学部 正会員 白木 義  
 鳥取大学大学院 学生員 奥野三郎

1. まえがき 本研究では、ランダムな軸方向圧縮力と曲げモーメントの作用を同時に受ける曲げ圧縮部材の信頼性解析を行なった。まず、セカント公式を用いて弾性域における曲げ圧縮部材の信頼度の評価式を示し、所要の信頼度のもとでの相関図を示した。次に、非弾性域についても解析を行ない、その場合の信頼度の評価式ならびに所要の信頼度のもとでの相関図を示した。

2. 曲げ圧縮部材の弾性域における信頼性評価式 Fig. 1 に示すようは両端ヒンジの曲げ圧縮部材を考える。この場合の曲げ圧縮部材の信頼度を評価するために、式(1)で表わされる強度の余裕とよばれる確率変数  $Z$  を導入する。り式(1)において、 $\sigma_y$ : 降伏点応力;  $P$ : 軸方向圧縮力;  $M$ : 曲げモーメント;  $A$ : 部材の断面積;  $\lambda$ :  $\sigma_y, P, M$  の関数である。ここでは、強度の余裕  $Z$  は  $\sigma_y, P, M$  の 3 つの不規則なパラメータの関数であると考える。さて、式(1)における関数  $\varphi_e$  を決定するために、式(2)に示す圧縮部材の近似的解析式(セカント公式)<sup>2)</sup>を利用する。式(2)において、 $w$ : 部材の断面係数;  $\lambda$ : 締長比;  $E$ : 部材の弾性係数である。いま、部材の最大応力  $\sigma_{max}$  が降伏点応力  $\sigma_y$  に達するとときの部材の弾性限强度を部材の最大強度とするとき、式(2)は式(3)に变形される。ここで、 $\varphi_e = P/(A\sigma_y)$  とすれば式(3)は  $\varphi_e$  に関する超越方程式となる。この式を  $\varphi_e$  について近似的に解くと、 $\varphi_e$  は  $\sigma_y, P, M$  の関数として、式(4)のように決定される。この  $\varphi_e$  を式(1)に代入すると強度の余裕  $Z$  は式(5)で与えられる。さらに計算を簡単にするために線形近似理論<sup>1), 3)</sup>を導入して式(5)を線形化し、強度の余裕  $Z$  の期待値  $\bar{Z}$  と分散  $D_Z$  を求めるとそれぞれ式(6)と式(7)で与えられる。式(6)と式(7)において、 $\bar{\mu}, \bar{a}, \bar{P}$  はそれぞれ  $\mu, a, P$  の期待値であり、 $D_{\sigma_y}, D_P, D_M$  はそれぞれ  $\sigma_y, P, M$  の分散である。いま、 $\sigma_y, P, M$  が正規確率変数であると仮定すると、これらのパラメータの線形関数である強度の余裕  $Z$  もまた正規確率変数であると考えられる。そうすると、この部材の信頼度  $P_S$  やおよび破壊確率  $Q$  はそれぞれ式(8)、式(9)で与えられる。両式より、所要の信頼度のもとでの部材の軸方向圧縮力の期待値  $\bar{P}$  やおよび曲げモーメントの期待値  $\bar{M}$  の関係、すなはち相関図を示すことができる。

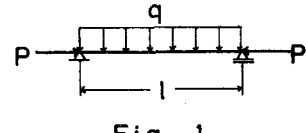


Fig. 1

$$Z = \sigma_y - \frac{P}{\varphi_e(\sigma_y, P, M)A} \quad (1)$$

$$\sigma_{max} = \frac{P}{A} \left\{ 1 + \frac{MA}{PW} \cdot \sec \left( \frac{1}{2} \sqrt{P/E} A \right) \right\} \quad (2)$$

$$\varphi_e = \frac{P}{A} \left\{ 1 + \frac{MA}{PW} \cdot \sec \left( \frac{1}{2} \sqrt{P/E} A \right) \right\} \quad (3)$$

$$Y_e = \frac{4(a - \sqrt{a^2 - \mu^2/2})}{\mu^2} \quad (4)$$

$$\text{ただし, } \mu = \lambda \sqrt{\sigma_y/E}; a = \mu \gamma/8 + \frac{MA}{PW} + 1$$

$$Z = \sigma_y - \frac{P \cdot \mu^2}{4A(a - \sqrt{a^2 - \mu^2/2})} \quad (5)$$

$$\bar{Z} = \bar{\sigma}_y - \frac{\bar{P} \cdot \bar{\mu}^2}{4A(\bar{a} - \sqrt{\bar{a}^2 - \bar{\mu}^2/2})} \quad (6)$$

$$D_Z = A_1^2 D_{\sigma_y} + A_2^2 D_P + A_3^2 D_M \quad (7)$$

$$\text{ただし, } A_1 = 1 - \frac{\bar{P} \bar{A}^2 + \bar{\mu}^2 - (\frac{\bar{P} \bar{A}}{\bar{a}})^2}{32AE} \frac{8\bar{A}^2 + \bar{\mu}^2}{\bar{a}(\bar{a} - \bar{\mu})}$$

$$A_2 = \frac{\bar{\mu}^2 (\frac{\bar{P} \bar{A}}{\bar{a}} - \bar{a})}{4A(\bar{a} - \bar{\mu})\bar{a}}, \quad A_3 = \frac{\bar{\mu}^2}{4W(\bar{a} - \bar{\mu})\bar{a}}$$

$$P_S = \frac{1}{\sqrt{2\pi D_Z}} \int_0^\infty \exp \left\{ -\frac{(Z - \bar{Z})^2}{2D_Z} \right\} dz \quad (8)$$

$$Q = 1 - P_S \quad (9)$$

3. 曲げ圧縮部材の非弾性域における信頼性評価式 通常、示方書において用いられている曲げ圧縮部材の非弾性域における相関式は式(10)で与えられる。式(10)において、 $P$ : 軸方向圧縮力;  $M_0$ : 軸方向圧縮力  $P$  を無視したときの部材の曲げモーメント;  $M_p$ : 全塑性モーメント;  $P_u$ : 終局軸方向圧縮力;  $C_m$ : 換算係数である。特に、 $P_u$  は  $\sigma_y$  の条件により式(11)で与えられる。式(10)は軸方向圧縮力および部材端におけるモーメントを同時に受けける場合の式であるが、ここでは Fig. 1 に示すような軸方向圧縮力および横荷重を同時に受けける

$$\frac{P_u}{P_u} + \frac{C_m \cdot M_0}{M_p(1 - P/P_e)} \leq 1 \quad (10)$$

$$P_u = \begin{cases} \sigma_y A (1 - 0.25 \frac{A}{P_e} \sigma_y) & \sigma_y \leq \frac{2P_e}{A} \\ P_e & \sigma_y > \frac{2P_e}{A} \end{cases} \quad (11)$$

$$\frac{P}{\sigma_y A (1 - 0.25 \frac{A}{P_e} \sigma_y)} + \frac{\beta \cdot \rho}{\sigma_y (1 - P/P_e)} \leq 1 \quad \sigma_y \leq \frac{2P_e}{A} \quad (12)$$

$$\frac{P}{P_e} + \frac{\beta \cdot \rho}{\sigma_y (1 - P/P_e)} \leq 1 \quad \sigma_y > \frac{2P_e}{A} \quad (13)$$

曲げ圧縮部材について考えることにする。この場合、相関式(10)は式(14)のように変形できる。式(14)において、 $\beta = \frac{P}{\sigma_y A} / (8 \cdot M_p / \sigma_y)$ 、 $\sigma_y$ は横荷重である。この場合の曲げ圧縮部材の信頼度を許容する下限に、横荷重 $\sigma_y$ 、軸方向圧縮力 $P$ および降伏点応力 $\sigma_y$ の3つを互いに独立な正規確率変数と考え、安全性の余裕とよばれる新たな確率変数 $w_1, w_2$ を次式のように定義する。

$$w_1 = 1 - \frac{P}{\sigma_y A (1 - 0.25 \frac{P}{M_p} \sigma_y)} - \frac{\sigma_y \cdot \beta}{\sigma_y (1 - \frac{P}{M_p})} \quad (\sigma_y \leq \frac{2P}{A}), \quad w_2 = 1 - \frac{P}{M_p} - \frac{\sigma_y \cdot \beta}{\sigma_y (1 - \frac{P}{M_p})} \quad (\sigma_y > \frac{2P}{A}) \quad (13)$$

安全性の余裕 $w_1, w_2$ の確率密度は不規則関数の分布法則<sup>5)</sup>を用いて次式のように表される。

$$f_{w_1}(w_1) = \int_0^{2P/A} h_1(\sigma_y, P, \sigma_y) \left| \frac{d\sigma_y}{dw_1} \right| dP d\sigma_y; \quad f_{w_2}(w_2) = \int_{2P/A}^{\infty} h_2(\sigma_y, P, \sigma_y) \left| \frac{d\sigma_y}{dw_2} \right| dP d\sigma_y \quad (14)$$

$$\text{ただし}, \quad h_i(\sigma_y, P, \sigma_y) = \frac{1}{2\pi\sqrt{2\pi D_P D_{\sigma_y} D_{\sigma_y}}} \exp\left\{-\frac{(P - \bar{P})^2}{2D_P}\right\} \cdot \exp\left\{-\frac{(\sigma_y - \bar{\sigma}_y)^2}{2D_{\sigma_y}}\right\} \cdot \exp\left\{-\frac{(\sigma_y - \bar{\sigma}_y)^2}{2D_{\sigma_y}}\right\} \quad (i=1, 2)$$

$$\bar{\sigma}_1 = \frac{\sigma_y}{\beta} \left(1 - \frac{P}{M_p}\right) \left(1 - \frac{P}{\sigma_y A (1 - 0.25 \frac{P}{M_p} \sigma_y)} - w_1\right); \quad \bar{\sigma}_2 = \frac{\sigma_y}{\beta} \left(1 - \frac{P}{M_p}\right) \left(1 - \frac{P}{\sigma_y A (1 - 0.25 \frac{P}{M_p} \sigma_y)} - w_2\right)$$

$$\bar{\sigma}_1(\sigma_y, w_1) = \sigma_y A (1 - w_1) (1 - 0.25 \frac{P}{M_p} \sigma_y); \quad \bar{\sigma}_2(\sigma_y, w_2) = P (1 - w_2)$$

そうすると、この部材の信頼度は安全性の余裕 $w_1$ が正となる確率と $w_2$ が正となる確率との和で表すことができる。すなわち、この曲げ圧縮部材の信頼度は次式で与えられる。

$$P_s = \int_0^2 \int_0^{2P/A} \int_0^{\bar{\sigma}_1(\sigma_y, w_1)} \frac{\sigma_y}{\beta} \left(1 - \frac{P}{M_p}\right) \cdot h_1(\sigma_y, P, \sigma_y) dP d\sigma_y dw_1 + \int_0^2 \int_{2P/A}^{\infty} \int_0^{\bar{\sigma}_2(\sigma_y, w_2)} \frac{\sigma_y}{\beta} \left(1 - \frac{P}{M_p}\right) \cdot h_2(\sigma_y, P, \sigma_y) dP d\sigma_y dw_2 \quad (15)$$

式(15)を計算することにより所要の信頼度のとての曲げ圧縮部材の非弾性域における相関図を示すことができる。

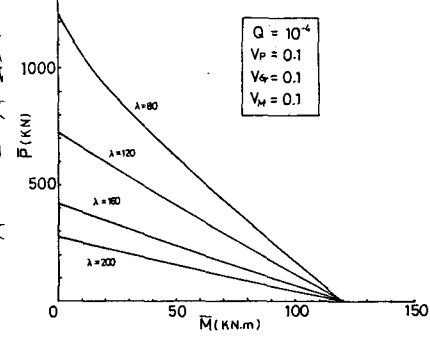


Fig. 2

4. 数値計算例および考察 以上示した諸式を用いて数値計算を行なう。たゞが、その一例を Fig. 2 および Fig. 3 に示す。Fig. 2 は弾性域において、軸方向圧縮力 $P$ 、降伏点応力 $\sigma_y$ 、横荷重 $\sigma_y$ を正規確率変数としたときの部材の破壊確率 $\alpha = 10^{-4}$ のもとでの軸方向圧縮力の期待値 $P$ と曲げモーメントの期待値 $M$ の相関図を示したものである。一方、Fig. 3 は非弾性域において、降伏点応力 $\sigma_y$ と横荷重 $\sigma_y$ と正規確率変数とし、軸方向圧縮 $P$ を確定量としたときの部材の破壊確率 $\alpha = 10^{-4}$ のもとでの $P$ と $M$ の相関図を示したものである。鋼材はともに、SS 41, 250 × 250 × 9 × 14 mm の H 型鋼を用いており、部材の弾性係数 $E = 2.1 \times 10^6 \text{ kg/cm}^2$ 、部材の降伏点応力の期待値 $\bar{\sigma}_y = 2400 \text{ kg/cm}^2$ とした。このように相関図を種々のパラメータの組み合わせに並んで作成しておくと、曲げ圧縮部材を所要の信頼度のもとで設計することができる。

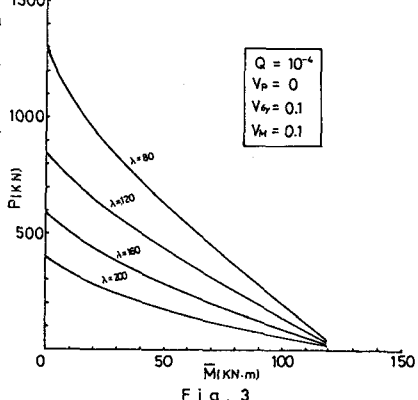


Fig. 3

- 1) C. 重. ピケュ - ギニ: 鋼製 Beam-Column の信頼性評価, CMPC, PP. 7~11, 1978-6. 2) 小西一郎編: 鋼橋・基礎構工, 改善, PP. 590~602, 1977. 3) 高岡宣善, 星谷勝, 尾坂芳夫編: 新体系土木工学12 土木構造設計法, 講叢堂出版, PP. 37~61, 1981-6. 4) Raidar Bjorkhede, Theodore T. Galambos, Mayasandra K. Ranjandra: LRFD CRITERIA FOR STEEL BEAM-COLUMNS, Jour. Str. Div, ASCE, PP. 1371~1387, 1978-9. 5) 高岡宣善: 工学のための応用不規則関数論, 共立出版, 1975.